



e-Learning tools for Electrical Engineering

Temática – Máquinas Eléctricas

Capítulo – Conversão Electromagnética

Secção –

## MOTOR OSCILANTE DE RELUTÂNCIA

### INTRODUÇÃO

Este problema baseia-se no caso de um motor oscilante de relutância utilizado nas máquinas de barbear. Esta aplicação ilustra ao interesse dos conceitos de energia (e co-energia para determinar o binário fornecido). A lei de Laplace não se aplica a este tipo de motores.

pré-requisito:

nível :

duração estimada :

autor: Damien Grenier

realização: Sophie Labrique

versão portuguesa: Maria José Resende



Este projecto é financiado pela União Europeia no âmbito de uma acção Sócrates-Minerva. As informações nele contidas são da exclusiva responsabilidade dos seus autores. A União Europeia declina toda a responsabilidade relativamente ao seu uso.

## ENUNCIADO DO PROBLEMA

A figura 1 representa um esquema em corte de um motor de relutância utilizado para comandar o movimento oscilante das lâminas de corte de certo tipo de máquinas eléctricas de barbear. Na ausência de corrente na bobine, a parte móvel da máquina é mantida numa posição excêntrica  $\theta = \theta_0$ , através de uma mola não representada na figura. Fazendo circular uma corrente  $\vec{i}$  na bobine, aparece um binário de origem electromagnética que tende a alinhar a parte móvel sobre a parte fixa. Se a corrente  $\vec{i}$  é alternada e com uma frequência igual a metade da frequência própria de oscilação do sistema mecânico formado pela parte móvel e pela mola, cria-se um movimento oscilante.

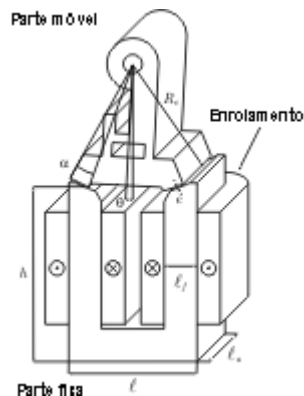


Figura 1

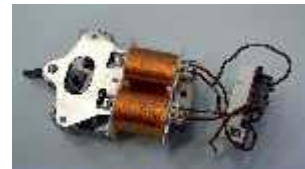


Figura 1b

Cada enrolamento da bobine é composto por  $n$  espiras. Os dois enrolamentos estão ligados em série.

- $R_e$  é o raio médio do entreferro:  $R_e = 28 \text{ mm}$
- $e$  é o comprimento do entreferro:  $e = 0,1 \text{ mm}$
- $\alpha$  é a abertura angular das peças magnéticas ao nível do entreferro:  $\alpha = 9,2^\circ$
- $l$  é o comprimento do motor:  $l = 28 \text{ mm}$
- $l_a$  é o comprimento do motor:  $l_a = 12 \text{ mm}$
- $h$  é a altura média do estator ao nível do entreferro:  $h = 37,7 \text{ mm}$
- $l_f$  é a largura média do núcleo de ferro:  $l_f = 7 \text{ mm}$
- $\theta$  é a posição angular da parte móvel, relativamente à sua posição de alinhamento com a parte fixa

## 1. Cálculo do binário de origem electromagnética admitindo que o ferro tem permeabilidade infinita

Pergunta:

Calcular o binário electromagnético em função da posição  $\theta$  do rotor ( $|\theta| < \alpha$ ) e da corrente  $\vec{i}$  que circula nas bobinas. Considere que a secção de cada uma das bobinas é  $115 \text{ mm}^2$  e que a densidade média de corrente é  $j = 1 \text{ A/mm}^2$ . Admita que a permeabilidade do ferro é infinita e que o fluxo de fugas pode ser desprezado.

Ajuda:

Como se pode demonstrar, o binário é igual à variação, em função da posição, da co-energia magnética armazenada, estando esta expressa em função da corrente  $\hat{i}$ .

Mais ajuda:

No caso de linearidade magnética, a co-energia magnética é numericamente igual à energia magnética

$$W_{mag} = W_{cmag} = \frac{1}{2} Li^2$$

onde  $L$  representa a indutância própria do enrolamento.

Mais ajuda:

Se se considerar a permeabilidade do ferro infinita e os fluxos de fuga desprezáveis, a indutância própria do enrolamento  $L$ , é igual a  $n$  vezes o fluxo  $\phi$  que atravessa o entreferro, dividido pelo valor da corrente que circula no enrolamento

$$L = \frac{n\phi}{\hat{i}}$$

Mais ajuda:

Se se considerar a permeabilidade do ferro infinita

- o campo  $H$  no ferro é nulo
- o campo  $H$  nas superfícies de separação entre o ferro e os entreferros é perpendicular a essas superfícies.

Se os fluxos de fuga forem desprezáveis (porque os entreferros são de reduzida dimensão), pode admitir-se que o campo no entreferro  $H_e$  é constante e perpendicular às superfícies.

Resposta:

Para  $|\theta| < \alpha$ , tem-se:

$$C_{em} = \frac{-\mu_0 R l n^2 i^2 \theta}{4e |\theta|}$$

A figura 2 representa a evolução do binário em função da posição para o caso  $ni = 230 Ae$ .

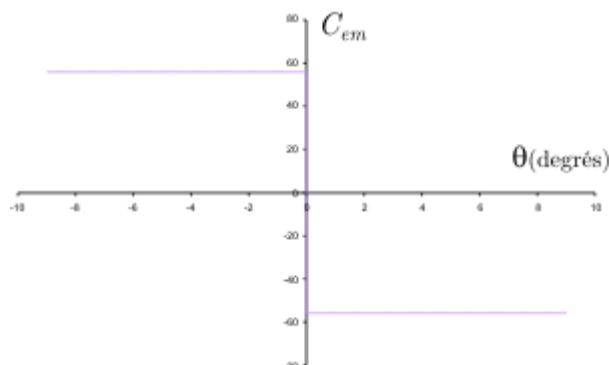


Figura 1 : Evolução do binário em função da posição (admitindo a permeabilidade do ferro infinita)

Demonstração da resposta:

Em qualquer ponto do entreferro tem-se:

$$H_e = \frac{ni}{2e}$$

Do campo  $\vec{H}_e$  no entreferro, passa-se ao campo de indução  $\vec{B}_e$  através da relação  $\vec{B}_e = \mu_0 \vec{H}_e$ .

Sendo  $\vec{B}_e$  perpendicular à superfície do entreferro, o fluxo  $\phi$  que atravessa cada um dos entreferros vale, para  $|\theta| < \alpha$ :

$$\phi = \int_S \vec{B} d\vec{s} = B_e R_e (\alpha - |\theta|) \ell = \frac{\mu_0 R_e (\alpha - |\theta|) \ell ni}{2e}$$

uma vez que a abertura angular das zonas onde as peças ferromagnéticas estão face a face uma com a outra é igual  $\alpha - \theta$  para  $\theta > 0$ , e igual a  $\alpha - (-\theta)$  para  $\theta < 0$ .

## 2. Consideração do comprimento do circuito magnético

O comprimento médio do núcleo magnético pode ser estimado através de:

$$L_f = 2(\ell - \ell_f) + 2h = 117,4\text{mm}$$

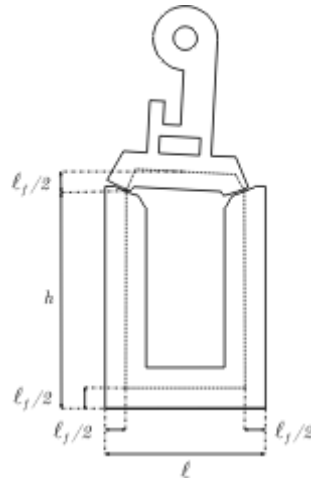


Figura 2: Comprimento médio do núcleo magnético

Se se considerar que o ferro tem uma permeabilidade relativa de  $\mu_r = 2000$  (e não infinita), a razão entre o comprimento do circuito magnético e a permeabilidade relativa do ferro ( $L_f/\mu_r = 0,059\text{mm}$ ) não é desprezável face à razão entre o comprimento do entreferro e a permeabilidade relativa do ar ( $2e/1 = 0,2\text{mm}$ ). Assim sendo, deverá ser tida em consideração a relutância magnética do ferro.

Pergunta:

Refazer o cálculo do binário electromagnético admitindo que a permeabilidade relativa do ferro é constante (ausência de saturação) e igual a  $\mu_r = 2000$ . Consideram-se desprezáveis os fluxos de fugas.

Ajuda:

Para calcular, de forma simplificada, a relutância do circuito, admite-se que o campo é uniforme. Esta hipótese não se verifica nas imediações do entreferro uma vez que a parte móvel e a parte fixa não estão alinhadas; nesta zona, as linhas de campo tendem a concentrar-se na zona do espaço onde existem peças de ferro face a face. O erro cometido com esta hipótese será tanto maior quanto menor for a zona onde a parte móvel e a parte fixa se encontram face a face.

Resposta:

Para  $|\theta| < \alpha$ , tem-se:

$$C_{em} = \frac{-\mu_0 R_e \ell n^2 r^2 e}{\left[2e + \frac{L_f R_e (\alpha - |\theta|)}{\mu_r \ell_f}\right]^2} \frac{|\theta|}{\theta}$$

Relativamente à situação em que se considera a permeabilidade do ferro infinita (resposta da figura 1), verifica-se uma redução superior a 25% do binário electromagnético.

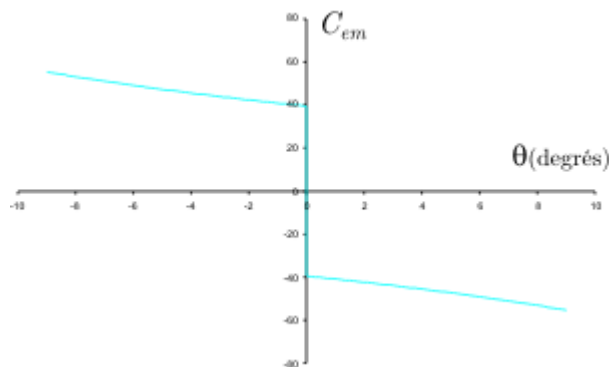


Figura 1 : Evolução do binário em função da posição

Demonstração da resposta:

Em qualquer ponto do entreferro tem-se :

$$H_e = \frac{ni}{2e}$$

Do campo  $\vec{H}_e$  no entreferro, passa-se ao campo de indução  $\vec{B}_e$  através da relação  $\vec{B}_e = \mu_0 \vec{H}_e$ .

Sendo  $\vec{B}_e$  perpendicular à superfície do entreferro, o fluxo  $\phi$  que atravessa cada um dos entreferros vale, para  $|\theta| < \alpha$ :

$$\phi = \int_S \vec{B}_e \cdot d\vec{s} = B_e R_e (\alpha - |\theta|) \ell = \frac{\mu_0 R_e (\alpha - |\theta|) \ell ni}{2e}$$

uma vez que a abertura angular das zonas onde as peças ferromagnéticas estão face a face uma com a outra é igual  $\alpha - \theta$  para  $\theta > 0$ , e igual a  $\alpha - (-\theta)$  para  $\theta < 0$ .

### 3. Efeito da saturação

O material ferromagnético que constitui o núcleo não tem uma permeabilidade constante e a sua curva de saturação está representada na figura seguinte.

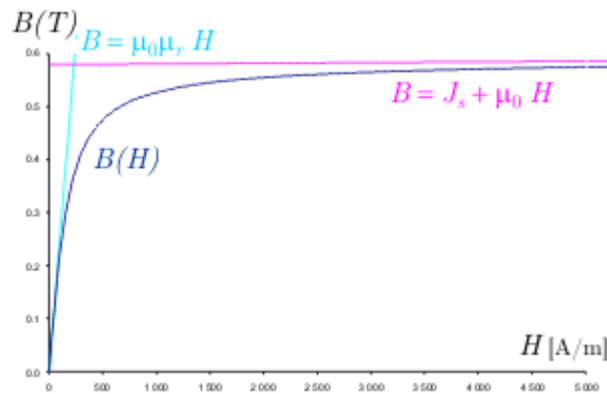


Figura 3 : Curva de saturação do material ferromagnético

Admitindo que o material satura de forma homogênea no conjunto do núcleo, calcular em  $\theta = 0$ , o valor do campo  $H_f$ , deduzindo a expressão da permeabilidade relativa do material nesse ponto e calcular o valor do binário electromagnético correspondente.

Pergunta:

Admitindo que o material satura de forma homogênea no conjunto do núcleo, calcular em  $\theta = 0$ , o valor do campo  $H_f$ , deduzindo a expressão da permeabilidade relativa do material nesse ponto e calcular o valor do binário electromagnético correspondente.

Ajuda:

Uma vez que o valor da permeabilidade relativa do material  $\mu_r$  é necessário para a determinação de  $H_f$  e o valor de  $\mu_r$  depende de  $H_f$ , tem de utilizar-se um cálculo iterativo.

Resposta:

Para  $\theta$  próximo de zero, a indução  $B_e$  no entreferro é mínima (ver [demonstração da resposta à pergunta 2](#)) e, portanto, também o campo  $H_e$ .

Para a mesma força magnetomotriz, o campo  $H_f$  será então máximo pois, através da lei de Ampère, tem-se:

$$2H_e l_e + H_f L_f = nI$$

A posição de alinhamento das peças rotóricas e estóricas corresponde ao ponto onde o material constitutivo do núcleo está mais saturado.

Tem-se:

$$H_f = 8651 \text{ A/m} \quad \text{para} \quad B_f = 0,519 \text{ T}$$

A que corresponde uma permeabilidade relativa de:

$$\mu_{r,\min} = \frac{B_f}{\mu_0 H_f} = 477,5$$

Demonstração da resposta:

Em qualquer ponto do entreferro tem-se :

$$H_e = \frac{ni}{2e}$$

Do campo  $\vec{H}_e$  no entreferro, passa-se ao campo de indução  $\vec{B}_e$  através da relação  $\vec{B}_e = \mu_0 \vec{H}_e$

Sendo  $\vec{B}_e$  perpendicular à superfície do entreferro, o fluxo  $\phi$  que atravessa cada um dos entreferros vale, para  $|\theta| < \alpha$ :

$$\phi = \int_S \vec{B}_e \cdot d\vec{s} = B_e R_e (\alpha - |\theta|) \ell = \frac{\mu_0 R_e (\alpha - |\theta|) \ell ni}{2e}$$

uma vez que a abertura angular das zonas onde as peças ferromagnéticas estão face a face uma com a outra é igual  $\alpha - \theta$  para  $\theta > 0$ , e igual a  $\alpha - (-\theta)$  para  $\theta < 0$ .